

DNA 甲基转移酶与甲基化 CpG 结合结构蛋白 2 在胃肠间质瘤的表达

何苗¹,范晶²,林劼³,王子卫⁴,赵和照^{1△}(1. 重庆市肿瘤研究所胃肠外科,重庆 400030;
2. 重庆医科大学附属第一医院急诊科,重庆 400016;3. 重庆医药(集团)股份有限公司 400011;
4. 重庆医科大学附属第一医院普通外科,重庆 400016)

【摘要】目的 研究 DNA 甲基转移酶(DNMT)和甲基化 CpG 结合结构蛋白 2(MBD2)在胃肠道间质瘤(GIST)的蛋白表达。**方法** 采用免疫组织化学法与免疫印迹法对 28 例成人 GIST 标本及配对对照标本进行 DNMTs 与 MBD2 的蛋白表达研究。**结果** DNMT1、DNMT2、DNMT3a、DNMT3L、MBD2 蛋白在 GIST 中表达显著高于配对对照组织,差异有统计学意义($P < 0.05$),但 DNMT3a 在 GIST 的表达差异无统计学意义($P > 0.05$)。**结论** GIST 表达 DNMTs(除外 DNMT3a)和 MBD2 更显著。

【关键词】 DNA 甲基转移酶; 甲基化 CpG 结合结构蛋白 2; 胃肠道间质瘤

DOI: 10.3969/j.issn.1672-9455.2016.04.013 文献标志码:A 文章编号:1672-9455(2016)04-0469-03

Expression of DNA methyltransferase and methyl-CpG-binding domain protein 2 in gastrointestinal stromal tumor HE
Miao¹, FAN Jing², WANG Zi-wei³, ZHAO He-zhao^{1△} (1. Department of Gastrointestinal Surgery, Chongqing Cancer Institute, Chongqing 400030, China; 2. Department of Emergency, the First Affiliated Hospital of Chongqing Medical University, Chongqing 400016, China; 3. Department of General Surgery, the First Affiliated Hospital of Chongqing Medical University, Chongqing 400016, China)

【Abstract】Objective To investigate the protein expressions of DNA methyltransferase (DNMT, including DNMT1, DNMT2, DNMT3aa, DNMT3b and DNMT3L) and methyl-CpG-binding domain protein 2 (MBD2) in gastrointestinal stromal tumor (GIST). **Methods** Immunohistochemistry and Western blotting were used to detect DNMT and MBD2 expressions in 28 pairs of adult GIST and matched non-tumor tissue. **Results** The protein expressions of DNMT1, DNMT2, DNMT3b, DNMT3L and MBD2 were significantly stronger in adult GISTs than in matched non-tumor tissues ($P < 0.05$); the protein expression of DNMT3a, however, did not differ significantly between tumors and non-tumor tissues ($P > 0.05$). **Conclusion** GISTs show protein expressions of DNMT(except DNMT3a) and MBD2 strongly.

【Key words】 DNMT; MBD2; GIST

表观遗传学研究无基因序列变化的可遗传的基因修饰作用,主要包括 DNA 甲基化、非编码 RNA、组蛋白修饰、染色质重塑等。其中 DNA 甲基化是人类肿瘤表观遗传研究的重点。肿瘤细胞基因组呈现异常 DNA 甲基化状态,表现为抑癌基因启动子 CpG 岛高甲基化和全基因组序列的广泛低甲基化^[1]。这些异常变化可能是抑癌基因失活和癌基因激活的重要原因,并导致肿瘤发生、发展^[2]。目前认为,DNA 甲基转移酶(DNMTs)和甲基化 CpG 结合结构蛋白 2(MBD2)的异常表达可能是肿瘤基因组甲基化异常的原因之一^[3]。DNMTs 与 MBD2 的异常高表达可通过促进抑癌基因启动子高甲基化并失活,进而促进肿瘤发展^[4]。现分析胃肠道间质瘤(GIST)中 DNMT(包括 DNMT1、DNMT2、DNMT3a、DNMT3b、DNMT3L)与 MBD2 的表达。报道如下。

1 资料与方法

1.1 一般资料 28 对成人 GIST 及配对对照组织(距间质瘤边缘大于 2 cm)来自重庆市肿瘤研究所组织标本库(均源于手术切除标本)。病理学诊断 GIST 明确(包括 KIT: +, CD34: +, DOG-1: +, SMA: +, S-100: -)。组织标本用于免疫组织化学法及免疫印迹实验。

1.2 仪器与试剂 所有第 1 抗体(包括 DNMTs 及 MBD2)购

自 Santa Cruz; 免疫组织化学相关试剂购自中杉金桥公司。免疫印迹实验材料购于碧云天公司。电泳仪、转印槽、成像系统等免疫印迹仪器购自 Bio-Rad。

1.3 方法

1.3.1 免疫组织化学法 采用中杉金桥公司提供的试剂盒说明书进行免疫组织化学操作。1 抗稀释比为 1:50,1 抗孵育采用 4 ℃过夜,显色时间 5 min。

1.3.2 免疫组织化学法结果判断 细胞染色程度 a:0(无染色),1(浅黄色),2(黄褐色),3(褐红色)。细胞染色比例 b:1 ($b < 25\%$),2 ($25\% \leq b < 50\%$),3 ($50\% \leq b < 75\%$),4 ($b \geq 75\%$)。根据 $a \times b$ 值判断结果 c,c=0、1、2 为阴性表达,c=3、4、6、8、9、12 为阳性表达。此外,若 c 值在肿瘤组织大于配对对照组织,则标记这对组织为“+”;反之为“-”;若 c 值相等,则记为“0”。

1.3.3 免疫印迹实验 免疫印迹实验步骤参照文献[5]描述进行,实验重复 3 次,利用 Quantity One 分析结果。

1.4 统计学处理 采用 SPSS 17.0 统计软件进行数据分析,计数资料使用 χ^2 检验、Fisher 精确检验、Wilcoxon 符号秩检验分析,计量资料应用 t 检验。 $P < 0.05$ 为差异有统计意义。

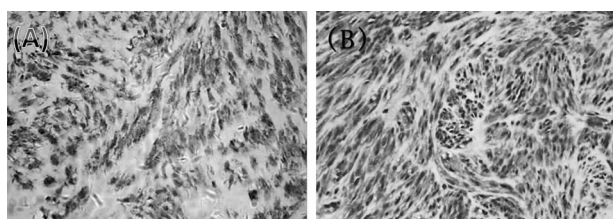
2 结果

2.1 DNMT 与 MBD2 蛋白在 GIST 组织的表达 GIST 组织表达各种 DNMT 蛋白及 MBD2 蛋白。除 DNMT3a 外, 其余 DNMT 蛋白及 MBD2 蛋白在 GIST 组织的表达强于配对对照组织, DNMT1、DNMT2、DNMT3b、DNMT3L、MBD2 在 GIST 的蛋白表达显著高于配对对照组织, 差异有统计学意义 ($P <$

0.05); 但 DNMT3a 在 GIST 的表达与配对对照组织比较, 差异无统计学意义 ($P > 0.05$)。免疫印迹除 DNMT3a 外, 其他 DNMTs 及 MBD2 在 GIST 组织中表达显著增强, 差异有统计学意义 ($P < 0.05$)。见图 1~3。

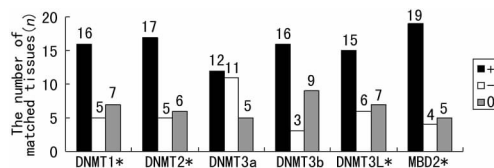
表 1 不同临床特征 GIST 的 DNMT 阳性表达 [$n(\%)$]

项目	类别	n	DNMT1	DNMT2	DNMT3a	DNMT3b	DNMT3L	MBD2	
性别	男性	16	9(56.3)	15(93.8)	8(50.0)	12(75.0)	10(62.5)	13(81.3)	
	女性	12	6(50.0)	10(83.3)	5(41.7)	9(75.0)	6(50.0)	10(83.3)	
P			1.00	0.56	0.72	1.00	0.70	1.00	
	年龄(岁)	> 50	17	10(58.8)	14(82.4)	6(35.3)	13(76.5)	9(52.9)	16(94.1)
P		≤ 50	11	5(45.5)	11(100)	7(63.6)	8(72.7)	7(63.6)	7(63.6)
			0.70	0.26	0.25	1.00	0.71	0.06	
肿瘤大小(cm)	> 5	15	10(66.7)	13(86.7)	7(46.7)	14(93.3)	10(66.7)	14(93.3)	
	≤ 5	13	5(38.5)	12(92.3)	6(46.2)	7(53.8)	6(46.2)	9(69.2)	
P			0.26	1.00	1.00	0.03	0.45	0.15	
	分裂指数	≤ 5/50 HPF	14	4(28.6)	11(78.6)	5(35.7)	7(50.0)	6(42.9)	10(71.4)
P		> 5/50 HPF	14	11(28.6)	14(100)	8(57.1)	14(100)	10(71.4)	13(92.9)
			0.02	0.22	0.45	0.01	0.25	0.33	
幽门螺杆菌感染	阳性	16	10(62.5)	14(87.5)	7(43.8)	11(68.8)	13(81.3)	13(81.3)	
	阴性	12	5(41.7)	11(91.7)	6(50.0)	10(83.3)	3(25.0)	10(83.3)	
P			0.45	1.00	1.00	0.66	0.01	1.00	



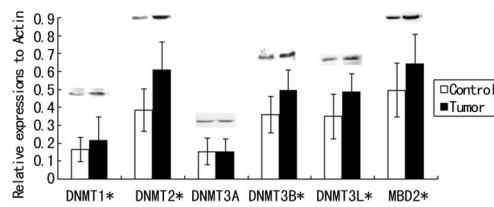
注: A 表示 DNMT1 在 GIST 的表达; B 表示 MBD2 在 GIST 表达。

图 1 胃肠间质瘤 DNMTs 与 MBD2 的表达



注: 免疫组织化学“+”表示蛋白在肿瘤表达高于配对对照组织; “-”表示蛋白在肿瘤表达弱于配对对照组织; “0”表示蛋白在肿瘤表达与配对对照组织相似。

图 2 DNMTs 与 MBD2 在 GIST 及配对对照组织的表达



注: Actin 表示内参。

图 3 DNMTs 与 MBD2 在 GIST 及配对对照组织的差异表达

2.2 DNMT 和 MBD2 表达与 GIST 临床病理特征的关系

DNMT 和 MBD2 表达与 GIST 患者的性别、年龄差异无统计学意义 ($P > 0.05$); 但 DNMT1 表达与间质瘤分裂指数相关, DNMT3b 表达与间质瘤大小及分裂指数相关, 而 DNMT3L 表达可能与幽门螺杆菌感染相关 ($P < 0.05$)。见表 1。

3 讨 论

GIST 是胃肠道最常见的间叶细胞来源肿瘤, 其中大约 60%发生在胃壁。GIST 的风险评估由解剖位置、肿瘤大小、瘤细胞核分裂能力决定^[6]。通常认为 GIST 的发病是由于 KIT 基因或 PDGFRA 基因激活突变引起。在绝大多数 GIST 标本中均可发现 KIT 基因或 PDGFRA 基因变异, 其变异可编码突变的酪氨酸激酶受体(tyrosine receptor kinases), 导致非调控性激酶活性, 最终导致细胞周期及凋亡的异常改变^[7]。CD34、DOG1、KIT (CD117) 的表达检测是目前鉴别 GIST 与其他肿瘤的准确方法^[8]。而酪氨酸激酶抑制剂(TKI) 甲磺酸伊马替尼(imatinib mesylate) 和外科手术切除是当前治疗 GIST 的经典方法。但是部分 GIST (成人大约 10%~15%, 儿童约 85%~90%) 并无 KIT 与 PDGFRA 基因突变, 提示 GIST 发病机制存在复杂性^[9]。

DNMTs 和 MBD2 是表观遗传学中重要的功能蛋白。DNMT1 是维持 DNA 甲基化谱的甲基转移酶, 其使新合成的 DNA 链具有同母链一致的 DNA 甲基化信息。DNMT1 失活可导致 DNA 链低甲基化, 染色体不稳定, 还可激活转座元件, 影响基因转录。DNMT2 为 tRNA 甲基转移酶, 也有部分 DNA 甲基转移酶活性^[10]。DNMT3a、DNMT3b 是胚胎发育初期建立起 DNA 甲基化谱的重新甲基转移酶, 通常在胚胎及肿瘤细胞中高表达, 而在成人机体细胞中表达微弱。DNMT3L 在基因组印记中发挥作用, 也通过 DNMT3a 与 DNMT3b 激活重新甲基化过程^[11]。有研究报道 DNMT3L 在肿瘤中可单独调节 15 种基因甲基化状态^[12]。MBD2 蛋白在 DNA 甲基化调控基因转录过程中发挥重要作用。一般认为, 甲基化的 DNA

与 MBD2 蛋白结合后通过招募组蛋白去乙酰化酶而形成转录抑制复合物,使染色体形态结构改变,不利 DNA 解旋和解链,进而抑制基因转录^[13]。也有观点认为 MBD2 具有去甲基化酶功能^[14]。

表观遗传修饰改变,如启动子高甲基化引起肿瘤相关基因转录活性改变在肿瘤发生、发展机制中发挥重要作用。通常假设是 DNMT 与 MBD2 的异常表达通过促进抑癌基因高甲基化并失活,进而促进肿瘤发展。目前有部分研究证实肿瘤组织高表达 DNMT 与 MBD2 蛋白^[15]。

本研究结果表明,几乎所有 DNMT(除外 DNMT3a)及 MBD2 蛋白均在 GIST 中表达增强(相较配对对照组织)。本组结果与其他一些关于 DNMTs 在肿瘤中的研究发现类似,提示除 KIT 与 PDGFRA 基因突变外,表观遗传改变可能也在 GIST 发展分子机制中发挥潜在作用。另一方面,部分 DNMT 表达与 GIST 临床病理特征的关系提示 DNMT 表达检测在 GIST 诊断中可能具有潜在价值。当然,本研究结论需要更大标本资料的研究去证实。而且 GIST 基因组中肿瘤相关基因的 DNA 甲基化状态是否异常,DNMT 抑制剂,如 5-aza-2-deoxycytidine 是否可以抑制 GIST 细胞增殖,这些疑问均需进一步研究去解答。

综上所述,GIST 可高表达 DNMT 与 MBD2 蛋白,且 DNMT 表达可能与 GIST 的部分临床病例特征存在关联。

参考文献

- [1] Lin Q, Wagner W. Epigenetic aging signatures are coherently modified in cancer [J]. PLoS Genet, 2015, 11(6): e1005334.
- [2] Shen J, Le Fave C, Sirosh I, et al. Integrative epigenomic and genomic filtering for methylation markers in hepatocellular carcinomas [J]. BMC Med Genomics, 2015, 8(1): 28-30.
- [3] Hervouet E, Vallette FM, Cartron PF. Dnmt3/transcription factor interactions as crucial players in targeted DNA methylation[J]. Epigenetics, 2009, 4(7): 487-499.
- [4] Wang X, Zhang L, Ding N, et al. Identification and characterization of DNA zymes targeting DNA methyltransferase I for suppressing bladder cancer proliferation[J]. Biochem Biophys Res Commun, 2015, 461(2): 329-333.
- [5] He M, Fan J, Jiang R, et al. MBD2 may be an underlying target of gastric cancer treatment[J]. Science Asia, 2013, 39(5): 486-491.
- [6] Gheorghe M, Predescu D, Iosif C, et al. Clinical and therapeutic considerations of GIST[J]. J Med Life, 2014, 7(2): 139-149.
- [7] Abdel-Rahman O, Fouad M. Systemic therapy options for advanced gastrointestinal stromal tumors beyond first-line imatinib:a systematic review[J]. Future Oncol, 2015, 11(12): 1829-1843.
- [8] Joensuu H, Rutkowski P, Nishida T, et al. KIT and PDGFRA mutations and the risk of GI stromal tumor recurrence[J]. J Clin Oncol, 2015, 33(6): 634-642.
- [9] Rossi S, Gasparotto D, Miceli R, et al. KIT, PDGFRA, and BRAF mutational spectrum impacts on the natural history of imatinib-naïve localized GIST:a population-based study [J]. Am J Surg Pathol, 2015, 39(7): 922-930.
- [10] Elhardt W, Shanmugam R, Jurkowski TP, et al. Somatic cancer mutations in the DNMT2 tRNA methyltransferase alter its catalytic properties[J]. Biochimie, 2015, 112(3): 66-72.
- [11] Pacaud R, Sery Q, Oliver L, et al. DNMT3L interacts with transcription factors to target DNMT3L/DNMT3B to specific DNA sequences: role of the DNMT3L/DNMT3B/p65-NF κ B complex in the (de-) methylation of TRAF1[J]. Biochimie, 2014, 104(8): 36-49.
- [12] Kim H, Park J, Jung Y, et al. DNA methyltransferase 3-like affects promoter methylation of thymine DNA glycosylase independently of DNMT1 and DNMT3B in cancer cells[J]. Int J Oncol, 2010, 36(6): 1563-1572.
- [13] Desai MA, Webb HD, Sinanan LM, et al. An intrinsically disordered region of methyl-CpG binding domain protein 2 (MBD2) recruits the histone deacetylase core of the NuRD complex[J]. Nucleic Acids Res, 2015, 43(6): 3100-3113.
- [14] Du Q, Luu PL, Stirzaker C, et al. Methyl-CpG-binding domain proteins:readers of the epigenome[J]. Epigenomics, 2015, 30(2): 1-23.
- [15] Zhu D, Hunter SB, Vertino PM, et al. Overexpression of MBD2 in glioblastoma maintains epigenetic silencing and inhibits the antiangiogenic function of the tumor suppressor gene BAI1[J]. Cancer Res, 2011, 71(20): 5859-5870.

(收稿日期:2015-06-25 修回日期:2015-09-25)

(上接第 468 页)

- iron-deficient states[J]. Clin Lab Haematol, 2006, 28(6): 303-308.
- [13] Urrechaga E, Borque L, Escanero JF. Erythrocyte and reticulocyte indices in the assessment of erythropoiesis activity and iron availability[J]. Int J Lab Hematol, 2013, 35(2): 144-149.
- [14] Peerschke EI, Pessin MS, Maslak P. Using the hemoglobin content of reticulocytes (RET-He) to evaluate anemia

in patients with cancer[J]. Am J Clin Pathol, 2014, 142(4): 506-512.

- [15] Piva E, Brugnara C, Chiandetti L, et al. Automated reticulocyte counting:state of the art and clinical applications in the evaluation of erythropoiesis[J]. Clin Chem Lab Med, 2010, 48(10): 1369-1380.

(收稿日期:2015-06-25 修回日期:2015-09-25)